

土圧をうけた PC 円形構造物のひずみ測定について

西 林 新 藏*
西 田 幸 男**

1. まえがき

近年円形の構造物にPCの特長を生かした設計がさかんに行なわれている。これらPC円形構造物では、構造物の周縁に沿って種々の方法で鋼線を巻きつけ、場合によつては鉛直方向にもプレストレスが導入される。これは構造物の内部に液体、粉体のような物質が入れられた場合、その内圧によるリングストレスや曲げモーメントによって生ずる引張力を、プレストレスによって打ち消して、円形構造物の壁体に引張応力を生じないようにするためである。したがつてPC円形構造物では、壁体にひびわかれが生ぜず、液体、油などがもらない構造物を造ることができ、しかも鉄筋コンクリート円形構造物よりも壁厚を薄くすることができる。また壁体内面にたとえば防水用のライニングを施す必要もなくなる。

壁体はプレキャスト部材を組み合わせて一体とする場合と、現場打ちコンクリートで施工する場合がある。後者ではスライディング工法と打ち継ぎ工法とに分けられる。円形構造物にプレストレスを与える方法を大別するとつぎのとおりである。

(1) 緊張したPC鋼線をコンクリートの外壁に連続的に巻きつける方法。

(2) PC鋼線をコンクリート壁中に埋め込むかまたは外周に沿つて配置し、これを緊張し円周の適当な位置で定着する方法。

(1) の方法はアメリカのPreload工法、スイスのBBRV工法などがその代表的なもので、(2) はPCはり、版などに用いられる通常のポストテンショニングの方法を円形構造物に応用したもので、フレシネー工法がその代表的なものである。

本文では現在運輸省神戸港工事事務所において施工中の第5防波堤用PCタンク(底版はない)に設置した土圧計およびひずみ計による測定結果ならびにその考察について述べる。なおこれらPCタンクのプレストレス導入状況の考察については文献1)を参照されたい。

2. PC タンクの設計、製作および土圧ひずみの測定方法

防波堤用のPC円形構造物(以下PCタンクと略称)

* 京都大学助教授 工学部土木工学教室

** 京都大学大学院工学研究科 修士課程

はフレシネーならびにプレロード工法で設計製作されたが、土圧計はフレシネー工法で製作されたタンクのみに設置されたので、以下ではこれらのPCタンクのみについて述べる。

(1) 設 計

PCタンクの設計に際して考慮された応力条件は①PC鋼線緊張時、②PC鋼線緊張後、③沈設時、④沈設後、⑤地震時などである。

PC鋼線緊張時には、緊張にともない鉛直方向に曲げモーメントが作用し円周方向にひびわれの入るおそれがあるので、この点に特に注意が払われている。コンクリートのクリープ、乾燥収縮、鋼線のラクセーションなどによる応力の減少量を15%、沈設時には一様に壁外部より13t/m²の外力が作用するものとし、また沈設後中詰土砂が填充されたのち、および地震時に作用する外

図-1 防波堤用PCタンクの設計荷重(土圧+水圧)

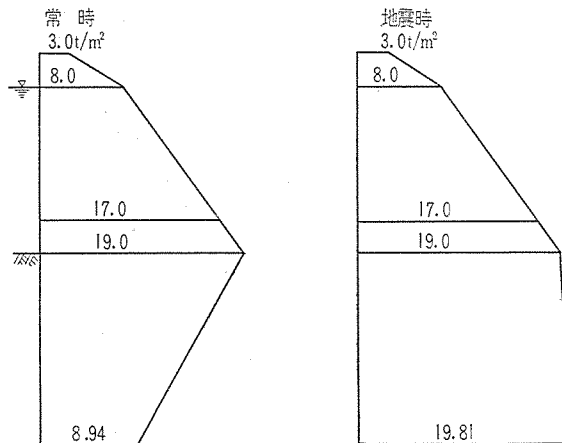
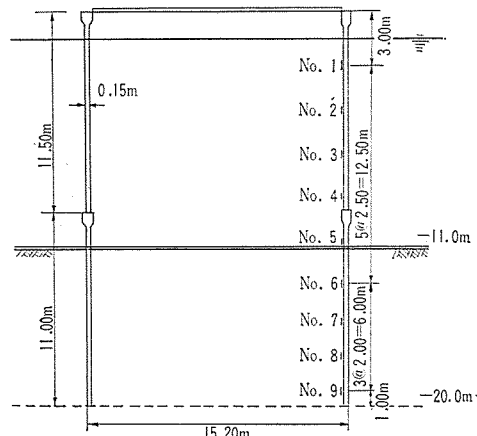


図-2 土圧計設置位置



力(壁体内面から外面に向う力)は図-1のように仮定されている。これらの条件にもとづいて設計されたPCタンクの形状寸法を図-2に示す。これら上下段PCタンクの施工については文献2),3)を参照されたい。

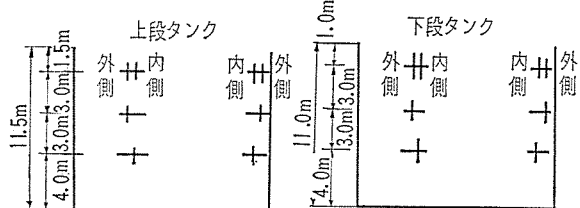
(2) 製作およびPC鋼線の緊張

コンクリートはスライディング工法で打設された。PC鋼線(上段タンク35本、下段タンク42本)1ケーブルあたりの有効緊張力は18000kg、緊張方法は最下端より1本おきに緊張し、最上段のケーブル緊張が終ってから下端から残りのケーブルが緊張された。

(3) 土圧およびひずみの測定方法

土圧計は港施5型、高圧用9型A、9型Bが用いられたが、このうち5型はPCタンク上段側壁内面、9型Aは下段側壁内面、9型Bは底面反力測定のためタンク下部に取付けられた⁴⁾。またひずみはいずれもカールソン型ひずみ計(CS-10D)を円周方向にはコンクリート中央、鉛直方向では壁面の内側と外側に埋めこまれた。壁コンクリート内部に埋込まれた計器の設置位置を図-2,3に示す。なお底面反力測定のための土圧計の位置は本文の考察とは直接関係がないので省略する。土圧の測定はタンク沈設後開始し、数日おきに約1カ年にわたって実施し、土圧測定に並行してひずみの測定も実施した。

図-3 ひずみ計設置位置



3. 理論解^{5)~9)} (土圧作用時)*

一般に中空円形構造物の外壁に作用する外力は深さによって変化し、また基礎版と壁との結合状態によって壁コンクリートの応力分布はいちじるしく変化する。このような構造物の応力解析には壁体を鉛直方向に単位巾の帯に切り、これを弾性支承上のはりと考えて応力を計算する方法が一般に用いられている(図-4)。

記号

- w : 円形構造物の壁のたわみ, $N\varphi$: 円周方向の軸力
- M_x : 鉛直方向の曲げモーメント
- Q_x : 鉛直方向と垂直な断面に作用するせん断力
- P_z : 外力
- d : 円形構造物の壁厚
- E : コンクリートの弾性係数
- D : 曲げ剛度
- α : 円形構造物の半径
- ν : ポアソン比

* PC鋼線緊張時および集中荷重、等分布荷重作用時の理論値については文献1)参照

$$D = \frac{Ed^3}{12(1-\nu^2)} \quad \dots \dots \dots (1)$$

$$\beta^4 = \frac{Ed}{4\alpha^2 D} = \frac{3(1-\nu^2)}{\alpha^2 d^2} \quad \dots \dots \dots (2)$$

図-4のように外力 P_z が作用するタンク壁面の微小要素について考えると z 方向のたわみ w は壁圧が一定の場合、次式で表わされる

$$\frac{d^4 w}{dx^4} + 4\beta^4 w = \frac{P_z}{D} \quad \dots \dots \dots (3)$$

(3) 式の一般解は

$$w = e^{\beta x} (c_1 \cos \beta x + c_2 \sin \beta x) + e^{-\beta x} (c_3 \cos \beta x + c_4 \sin \beta x) + f(x) \quad \dots \dots \dots (4)$$

ここで $f(x)$ は(4)式の特解で c_1, c_2, c_3, c_4 は円形構造物の端部の境界条件によって定まる積分定数である。PCタンクは下端自由で、またタンクの高さ h 、半径 α に比して壁厚 d が非常に小さく $c_1=c_2=0$ 、また荷重分布状況より $f(x)=0$ と考えることができるので(2)式は次のように書き改められる。

$$w = e^{\beta x} (c_3 \cos \beta x + c_4 \sin \beta x) = c_3 \theta(\beta x) + c_4 \zeta(\beta x) \quad \dots \dots \dots (5)$$

ここで $\theta(\beta x) = e^{-\beta x} \cos \beta x$, $\zeta(\beta x) = e^{-\beta x} \sin \beta x$ である。これより

$$N_\varphi = -\frac{w}{\alpha} Ed = -\frac{Ed}{\alpha} \{c_3 \theta(\beta x) + c_4 \zeta(\beta x)\} \quad \dots \dots \dots (6)$$

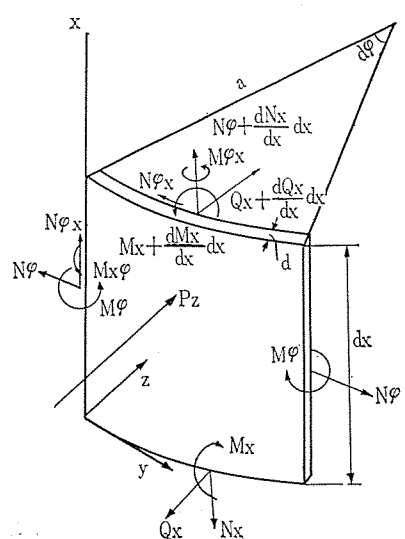
$$M_x = -D \frac{d^2 w}{dx^2} = -2 D \beta^2 \{c_3 \zeta(\beta x) - c_4 \theta(\beta x)\} \quad \dots \dots \dots (7)$$

この弾性支承上のはりを解く場合には曲げ剛度が一定であれば荷重の作用する範囲と、はりが有限長であるか無限長であるかが問題となる。はりの有限長、無限長は βl (l は載荷点からはりの一端までの距離)の値に関係し、一般に $\beta l > 2.5$ の場合は無限長のはり、 $\beta l \leq 2.5$ のとき有限長のはりとして取りあつたう^{10),11)}。

(1) 三角分布荷重が無限長のはりの一部に作用する場合

土圧のような複雑な分布荷重に対応する N_φ, M_x は、等分布荷重が作用した場合の式のみでは求めることができない。そこで次のような三

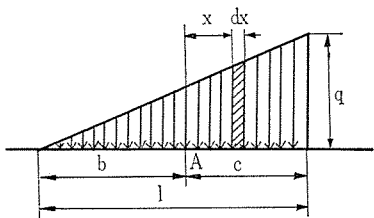
図-4



報 告

角分布荷重の作用した場合と等分布荷重の作用した場合とを重ね合わせることによって、かなり複雑な分布荷重に対応する理論値を近似的に十分の精度をもって求めることができる。なお、分布荷重の形が2次以上の曲線の場合も理論的には求めることができるが、計算は複雑となり実用にならないのでここでは省略する。

図-5



a) 荷重分布の中の点について (図-5 A 点の場合)

$$w = \frac{q}{8\beta^3 Dl} \int_0^b (b-x) \{\theta(\beta x) + \zeta(\beta x)\} dx \\ + \frac{q}{8\beta^3 Dl} \int_0^c (b+x) \{\theta(\beta x) + \zeta(\beta x)\} dx \\ = \frac{qa^2 b}{Edl} - \frac{qa^2}{2 Ed} \theta(\beta c) - \frac{qa^2}{4 \beta Edl} K_1 \quad (8)$$

$$\therefore N_\varphi = -\frac{qab}{l} + \frac{qa}{2} \theta(\beta c) + \frac{qa}{4 \beta l} K_1 \quad (9)$$

$$M_x = \frac{q}{8\beta^3 l} K_2 + \frac{q}{4 \beta^2} \zeta(\beta c) \quad (10)$$

$$Q_x = -\frac{q}{2 \beta^2 l} \{\zeta(\beta b) - \zeta(\beta c) + \beta b\} \\ + \frac{q}{4 \beta} \{\theta(\beta c) - \zeta(\beta c)\} \quad (11)$$

図-6

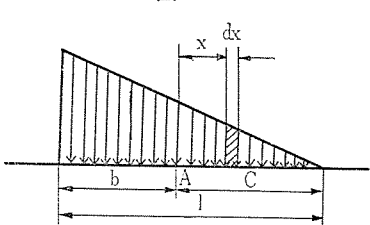


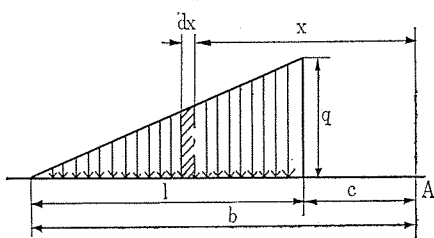
図-6 の場合、同様に

$$N_\varphi = -\frac{qac}{l} + \frac{qa}{2} \theta(\beta b) - \frac{qa}{4 \beta l} K_1 \quad (12)$$

$$M_x = -\frac{q}{8\beta^3 l} K_2 + \frac{q}{4 \beta^2} \zeta(\beta b) \quad (13)$$

$$Q_x = \frac{q}{2 \beta^2 l} \{\zeta(\beta b) - \zeta(\beta c) - \beta c\} \\ + \frac{q}{4 \beta} \{\theta(\beta b) - \zeta(\beta b)\} \quad (14)$$

図-7



b) 荷重分布以外の点 (図-7 A 点の場合)

$$w = \frac{q}{8\beta^3 Dl} \int_c^b (b-x) \{\theta(\beta x) + \zeta(\beta x)\} dx \\ = \frac{qa^2}{2 Ed} \theta(\beta c) - \frac{qa^2}{4 \beta Edl} K_1 \quad (15)$$

$$N_\varphi = -\frac{qa}{2} \theta(\beta c) - \frac{qa}{4 \beta l} K_1 \quad (16)$$

$$M_x = \frac{q}{8\beta^3 l} K_2 - \frac{q}{4 \beta^2} \zeta(\beta c) \quad (17)$$

$$Q_x = -\frac{q}{2 \beta^2 l} \{\zeta(\beta b) - \zeta(\beta c)\} - \frac{q}{4 \beta} \{\theta(\beta c) \\ - \zeta(\beta c)\} \quad (18)$$

図-8

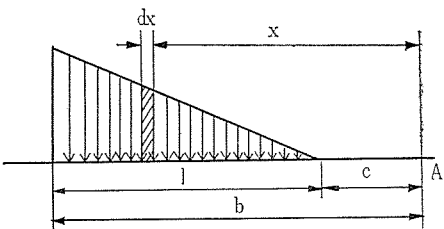


図-8 の場合も同様に

$$N_\varphi = \frac{qa}{2} \theta(\beta b) - \frac{qa}{4 \beta l} K_1 \quad (19)$$

$$M_x = -\frac{q}{8\beta^3 l} K_2 - \frac{q}{4 \beta^2} \zeta(\beta b) \quad (20)$$

$$Q_x = -\frac{q}{2 \beta^2 l} \{\zeta(\beta b) - \zeta(\beta c)\} - \frac{q}{4 \beta} \{\theta(\beta b) \\ - \zeta(\beta b)\} \quad (21)$$

$$\text{ここで } K_1 = \zeta(\beta b) - \theta(\beta b) - \zeta(\beta c) + \theta(\beta c) \quad \} \\ K_2 = \theta(\beta b) + \zeta(\beta b) - \theta(\beta c) - \zeta(\beta c) \quad \} \\ \dots \quad (22)$$

(2) 有限長のはりの理論解の求め方

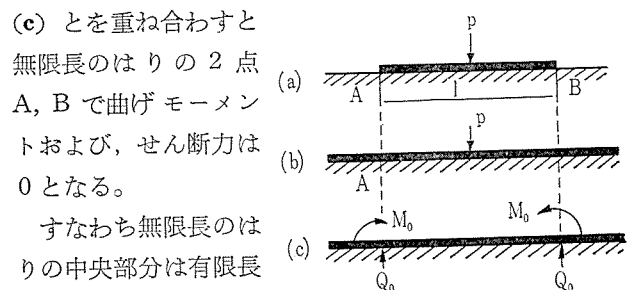
前述した無限長のはりの解に重ね合わせの方法を採用することによって求めることができる。いま 図-9 (a) のような弾性支承上の有限長のはり (長さ l) の中央に集中荷重 p が載荷された場合に例をとって考える。図-9 (b) は無限長のはりに荷重 p が作用する場合で、図-9 (c) は (b) の場合にのはりの 2 点 A, B に生ずる曲げモーメントおよびせん断力と大きさ等しく、方向反対の M₀, Q₀ を無限長のはりの A, B 点に作用させた場合である。(b) と

(c) とを重ね合わせると

無限長のはりの 2 点 A, B で曲げモーメントおよびせん断力は 0 となる。

すなわち無限長のはりの中部分は有限長のはり (a) と同じ条

図-9



件となるから、はり(a)の応力状態は(b)と(c)とを重ね合わせれば求められることになる。等分布荷重あるいは三角分布荷重が作用する場合でも同様の方法で任意の点の理論値を求めることができる。

4. 測定結果とその考察

(1) 土圧測定結果

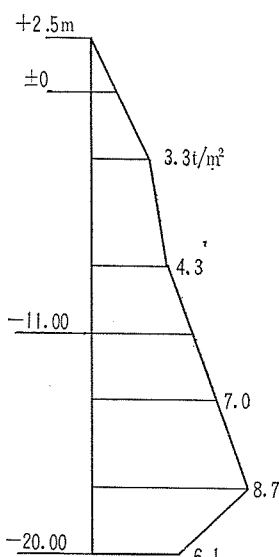
中詰土圧は沈設後時間とともに増加し、沈設後約6カ月頃から一定の値か、あるいは増加してもごく僅かであったので、本文では沈設後200日目の土圧を常時中詰め土圧として取上げることにした。なおそれ以後では土圧計およびひずみ計の故障が多く正確な結果が得られなかつたからである。図-10はP.C.タンク沈設直後(15日後)、図-11は200日目の実測土圧(残留水圧およびタンク外側からの土圧の影響を差し引いた純中詰土圧)の鉛直方向の分布図である(実測値は相当ばらついていたので、経験上実際とかけ離れている測定値はこれを除外して図示した)。

点線で示した設計時に考慮した土圧分布と比較すると、測定土圧の方が50~80%小さくなっていることがわかる。

(2) 中詰土圧によるひずみ測定結果および考察

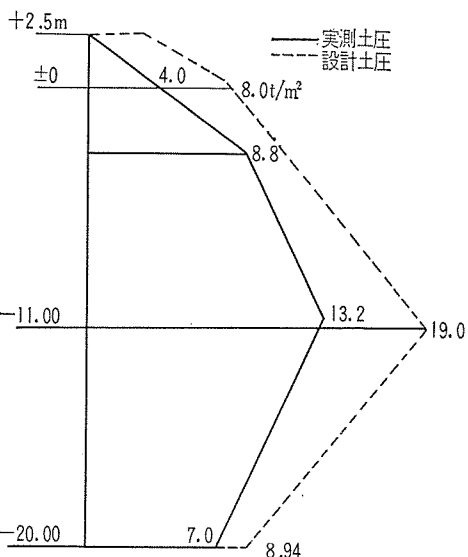
沈設後15日および200日の実測土圧によって、P.C.タンクに生ずるリングストレス N_r 、それによる応力 σ_r 、ひずみ ϵ_r 、曲げモーメント M_x 、それによる応力、ひずみ σ_M 、 ϵ_M を理論式を用いて算出し、各測点での実測ひずみと比較してみると表-1のようになる。

図-10 中埋め完了後150日目の土圧分布



実測によると壁の円周方向のひずみはP.C.鋼線緊張直後を原点にとると、中詰土砂によって約 $50\sim200\times10^{-6}$ 増

図-11 中埋め完了後200日目の土圧分布



大(引張り)し、したがって応力はプレストレス導入時にくらべて $12\sim50\text{ kg/cm}^2$ 減少したことになる。理論値と比較すると、実測値は導入応力を最大15%と仮定しても理論値よりも一般に小さく、約75%の値となっている。いずれにしても設計のさい仮定されたような土圧は沈設後200日において作用していないようである。また中詰土圧による曲げモーメントとそれにともなう鉛直方向の応力、ひずみ σ_M 、 ϵ_M を算出して実測値と比較してみると表-2のようになり、実測値は相当ばらついてはいるが理論値とは比較的よく合っているといえよう。

つぎに表-3で沈設後200日の測定中詰土圧を前述したように常時中詰土圧と仮定して、設計常時土圧を用いて計算した円周方向のひずみ ϵ_1 、実測土圧を用いたときの計算ひずみ ϵ_2 、実測ひずみ ϵ_3 を比較してみると、 ϵ_1 は ϵ_3 に比して非常に大きく、 ϵ_2 に比しても大きい。これは前述したとおり設計で仮定された常時土圧が大きすぎるためで、したがって導入プレストレスも過大となっ

表-1 中詰土圧によるリングストレスおよび円周方向のひずみ

測点	タンクの下端から測点までの距離(cm)	リングストレス(kg/cm²)		円周方向のひずみ $\epsilon_r \times 10^{-6}$					
		沈設後15日の土圧による理論値	沈設後200日の土圧による理論値	沈設後15日の土圧による			沈設後200日の土圧による		
上段タンク	1	1 050	3.01	8.05	10.02	7.6	5.1	26.84	15.1
	2	750	12.55	32.91	41.18	21.1	21.3	109.68	102.3
	3	450	19.40	52.29	64.67	37.8	24.3	174.30	69.7
下段タンク	1	1 000	27.91	62.49	93.04	96.8	12.0	208.30	84.8
	2	700	36.11	58.88	120.04	156.0	46.4	196.26	184.0
	3	400	41.21	50.21	137.35	124.0	—	167.38	—

注: 上記数値はいずれも引張り、コンクリート弾性係数は $E_c=300\,000\text{ kg/cm}^2$ と仮定

表-2 中詰土圧による曲げモーメントおよび鉛直方向ひずみ

測 点	各タンク の下端か ら測点ま での距離 (cm)	M ^a (kg·cm)		σ _M (kg/cm ²)		鉛直方向のひずみ ε _M × 10 ⁻⁶							
		沈設後 15日 の土圧 による理 論値	沈設後 200日 の土圧 による理 論値	沈設後 15日 の土圧 による理 論値	沈設後 200日 の土圧 による理 論値	沈設後 15 日の土圧による				沈設後 200 日の土圧による			
						理論 値	実測 値	理論 値	実測 値	壁体内側	壁体外側	壁体内側	壁体外側
上 段 タン ク	1	1 050	15.04	40.08	0.40	1.07	- 0.33	0.33	- 4.1	3.0	- 0.91	0.91	11.9
	2	750	6.44	15.45	0.17	0.41	- 6.40	6.40	- 6.7	11.3	- 16.91	16.91	- 2.3
	3	450	4.32	10.42	0.11	0.28	- 10.40	10.40	- 21.5	23.6	- 28.13	28.13	94.5
下 段 タン ク	1	1 000	246.21	385.47	6.57	10.29	6.40	- 6.40	2.8	- 6.6	- 0.42	0.42	- 2.2
	2	700	- 5.44	12.07	- 0.14	0.32	- 20.55	20.55	- 13.0	19.3	- 31.64	31.64	- 64.8
	3	400	- 59.83	- 7.32	- 1.60	- 0.20	- 28.22	28.22	- 22.7	25.5	- 28.55	28.55	- 32.5

注：上記数値中+は引張り，-は圧縮を示す。コンクリートの弾性係数 $E_c = 300\,000 \text{ kg/cm}^2$ と仮定

表-3 理論値と実測値の比較（円周方向）(×10⁻⁶)

測 点	沈設後15日の土圧による	沈設後200日の土圧による							
		理 論 値		実 測 値		理 論 値		実 測 値	
		ε ₁	ε ₂	ε _{3-I}	ε _{3-II}	ε ₁	ε ₂	ε _{3-I}	ε _{3-II}
上 段 タン ク	1	-	10.02	7.60	5.10	67.00	26.84	15.10	46.00
	2	-	41.18	21.10	21.30	176.50	109.68	102.30	97.20
	3	-	64.67	37.80	24.30	245.82	174.30	69.70	96.10
下 段 タン ク	1	-	93.04	96.80	12.00	276.01	208.30	84.80	117.00
	2	-	120.04	156.00	46.40	255.24	196.26	184.00	108.20
	3	-	137.35	124.00	-	199.52	167.38	-	-

注：上記中数値はいずれも引張りを示す。

ている。しかし地震、波、船舶の衝突などによる衝撃などに対する中詰土砂の挙動や、PCタンクの挙動など不明の点が多いので、これくらいの安全性をもたせた方がよいのかも知れない。なお円周方向の実測ひずみと理論値との差については、検討すべき点が多いが、とくに、理論式では今の場合タンク下端の条件を自由と仮定したが、このPCタンクのように上段と下段との継目および最下端の状態が自由、固定あるいはヒンジと限定できないものに適用するために生ずる誤差および、土圧計の測定の不備によるものと考えられる。

5. 結 語

PCタンク設計にあたっては、タンク壁のたわみは、曲げ剛度が一定の弾性支承上のはりに外力が作用したときのたわみを求める理論式と同じ形で書き表わしうることを利用して種々の境界条件を入れて、プレストレスの導入状態や中詰土圧などによるリングストレス、また鉛直方向の曲げモーメント等を求めることができる。複雑な荷重分布状態でも、これを三角分布荷重と等分布荷重とに分けて別々に解き、重ね合わせの方法を適用すれば簡単に理論解求めることができる。

実際例について、中詰土圧によってPCタンク壁面にどのようなひずみが生じているかについて、実測値と上

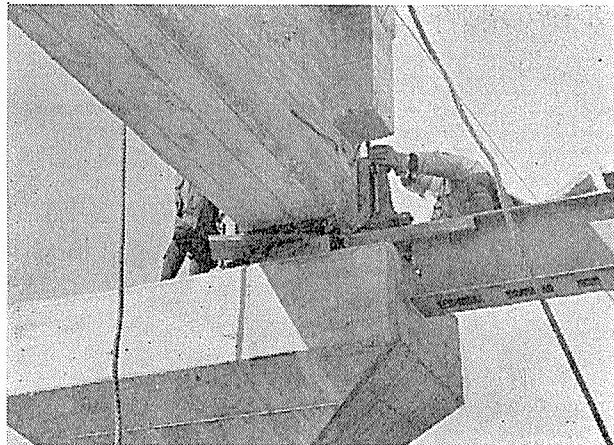
記理論値を比較考察した。これによると実測土圧は設計時考慮された土圧よりも50~80%と小さく実測ひずみは、測定土圧にもとづいて計算したひずみよりも、約75%（導入応力の減退を最大値15%と仮定）、さらに設計時考慮された土圧から計算したひずみよりも約50%といずれも小さくなっていた。またこれらの事実から推論すれば、このPCタンクは数年後において設計に考慮した土圧に達したとしても、十分プレストレスが残留し、構造物としては安全であることが明らかであろう。

本測定にあたって御協力頂いた運輸省神戸港工事事務所の所員各位に感謝の意を表する次第である。なお本文は土木学会誌 Vol. 48, No. 4¹⁾ の続報である。

参 考 文 献

- 1) 岡田 清・西林新蔵：PC円形構造物のひずみ測定
- 2) 長尾義三：プレストレストコンクリートパイプの新しい利用方法について
プレストレストコンクリート Vol. 4, No. 1
昭和37年2月
- 3) 塙 恒夫：神戸港摩耶埠頭の建設における試験工事について、土木学会誌 Vol. 46, No. 5 昭和36年5月
- 4) 第三港湾建設局神戸港工事事務所：神戸港第5防波堤工事について、第13回直轄港湾技術研究会報告資料
昭和37年11月
- 5) Davis, J.D.: The Analysis of Cylindrical Tank walls, Civil Eng. & Public Works. Vol. 54, No. 631, 632, 634.
- 6) Crom, J.M.: Design of Prestressed Tanks. A.S.C.E. Transaction Nov. 1958.
- 7) Timosenko, S.: Theory of plates and Shells. McGraw-Hill.
- 8) Flügge, W.: Stresses in Shells. Springer-Verlag. Berlin. 1960.
- 9) Hayashi, K.: Theorie des Trägers auf Elastisher Unterlage Berlin 1921.
- 10) Crachneel, D.W. & Knight, W.A.: The analysis of Prestressed concrete statically indeterminate structure. A symposium on prestressed concrete stutically undeterminate structure 24~25 Sept. 1951.
- 11) 猪股俊司：プレストレストコンクリートの設計および施工、技報堂

1963.9.20・受付



● D.S.F. パッド

(橋梁の弾性可動支承材)

● B R O F ジョイント

橋梁および道路用、伸縮継手装置

苗小牧工業港・高架線(日高線)
発注者：北海道開発局



東京ファブリック工業株式会社

本 店 東京都新宿区上落合 1 の 271 電話 東京 代表 (362) 7110~25・直通 (369) 8760・8761
大阪出張所 大阪市北区堂島船大工町 15 (堂栄ビル 2 階) 電話 大阪 (312) 2558 (361) 5571-5862
名古屋出張所 名古屋市中区矢場町 1 の 64 (鈴木ビル 3 階) 電話 名古屋 (24) 0727・2048
九州出張所 北九州市小倉区博労町 48 (大家ビル 3 隅) 電話 小倉 (52) 5069・8307
札幌出張所 札幌市大通西 13 丁目の 4 (札幌砂利工業ビル 2 隅) 電話 札幌 (5) 5468 (6) 9014

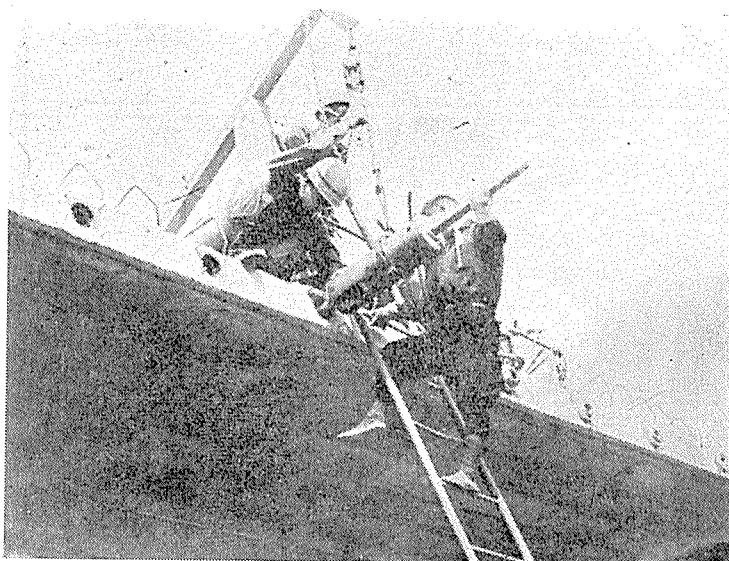
OX JACKS

プレストレスト・コンクリート

各工法用ジャッキ

その他各種機械

設計・製作・指導



山本扛重機株式会社

東京都中央区新富町二丁目八番地

TEL 東京 (551) 局 2115~9

